

الگوی بیان چرخه‌های سیگنالی LIF و FGF-۲ در سلول‌های بنیادی رویانی حاصل از لقاح آزمایشگاهی، همتاسازی و خودگشنسازی در گام میش

• محمد زندی (نویسنده مسئول)

گروه علوم دام، طیور و آبزیان، پژوهشکده کشاورزی، سازمان پژوهش‌های علمی و صنعتی ایران، تهران، ایران

• محمدرضا سنجابی

گروه علوم دام، طیور و آبزیان، پژوهشکده کشاورزی، سازمان پژوهش‌های علمی و صنعتی ایران، تهران، ایران

تاریخ دریافت: اردیبهشت ۹۲

Email: mz1075@yahoo.com

چکیده

سلول‌های بنیادی رویانی که از لایه زاینده داخلی رویان در مرحله بلاستوسیست تولید می‌شوند، توانایی تمایز به انواع سلول‌های لایه زاینده رویان شامل بروون پوست، میان بوست و درون پوست را دارند. اطلاعات کمی در ارتباط با فاکتورهایی که بر تمایز یا حفظ سلول در حالت تمایز نیافته اثر می‌گذارند وجود دارد. در این مطالعه الگوی بیان چرخه‌های فاکتور مهارکننده لوکمیا (LIF) و فاکتور رشد فیبروبلاستی (FGF-۲)، به منظور درک بهتر ارتباط چرخه‌های سیگنالی در خودنوسازی سلول‌های بنیادی رویانی گام میش موردن بررسی قرار گرفت. سلول‌های بنیادی رویانی از رویان‌های حاصل از لقاح آزمایشگاهی (IVF)، همتاسازی (IVC) و خودگشنسازی (Parthenogenesis) بدست آمدند و از آلکالین فسفاتاز و رنگ آمیزی ایمیونو‌فلورسانس به منظور شناسایی سلول‌های بنیادی استفاده شد. به منظور کشت سلول‌های بنیادی از لایه تغدیه کننده استفاده شد و محیط کشت حاوی Ko-DMEM-KSR، LIF، FGF-۲، AL-گلوتامین، اسیدهای آمینه غیر ضروری و جنتاماکسین بود. بیان زن‌های حد واسط چرخه‌های LIF و FGF-۲ با استفاده از RT-PCR بدست آمد. نتایج حاصل از این مطالعه نشان داد، بیان FGF-۲ در سلول‌های بنیادی رویانی گام میش بیشتر از LIF بود. LIF، FGF-۲ گیرنده‌های آن‌ها و ترکیبات حد واسط این چرخه‌ها در سلول‌های بنیادی رویانی حاصل از هر سه منشاء تقریباً در حد یکسانی بیان شدند.

کلمات کلیدی: سلول‌های بنیادی رویانی، FGF، LIF، گام میش

Veterinary Journal (Pajouhesh & Sazandegi) No 106 pp: 24-33

Transcriptional profiling of LIF and FGF-2 signaling pathways in buffalo embryonic stem cells derived from in vitro fertilized, parthenogenetic and handmade cloned embryos

By: Zandi, M. (Corresponding Author), Iranian Research Organization for Science and Technology (IROST).

Sanjabi, M.R., Iranian Research Organization for Science and Technology (IROST).

Received: August 2013 Accepted: July 2013

Email: mz1075@yahoo.com

Embryonic stem cells (ESCs) are derived from the inner cell mass (ICM) of blastocyst and differentiate into all three embryonic germ layers: ectoderm, endoderm, and mesoderm. There is less information available about the factors that are affecting buffalo ES cells in culture. In this study, expression profiles of the Leukemia Inhibitory Factor (LIF) and basic Fibroblast Growth Factor (FGF-2) signaling pathways were investigated to better understand the relationships of the signaling pathways for self-renewal in buffalo ES cells. Buffalo ES cells were derived from in vitro fertilized (iESC), parthenogenetic (pESC) and handmade cloned (cESC) embryos. Alkaline phosphatase and immune-fluorescence staining were used to characterize buffalo ES cells. Feeder layer was used for ESCs culture, and culture medium consisting of Knockout-Dulbecco's Modified Eagle's Medium (Ko-DMEM) supplemented with Knockout Serum Replacement (KSR), leukemia inhibitory factor (LIF), basic fibroblast growth factor-2 (FGF-2), L-glutamine, nonessential amino acids and gentamicin. Gene expression was analysed by RT-PCR for signaling pathways. Results showed that, the expression of FGF-2 was higher than LIF in buffalo ESCs. LIF, FGF, their receptors and intermediate signaling pathways was expressed at almost same level in three sources of buffalo ESCs.

Key words: Embryonic Stem Cells, FGF, LIF, Buffalo

مقدمه

بیماریهای ویروسی تاثراخته و یا الودگی های بین گونه ای شوند. در این ارتباط، مطالعه چرخه های ارتیاطی داخل سلولی که در حفظ پرتوانی و خودتوسازی سلول های بینیادی حیوانات مختلف نقش دارند می تواند به عنوان راهنمایی به منظور ایجاد محیط های کشت تعریف شده برای تولید سلول های بینیادی یکار روند (Yamanaka و Okita، ۲۰۰۶). تحقیقات تئان داده اند، محیط های القا شده با سلول های فیبروبلاست رویانی موش باعث حفظ خودتوسازی سلول های بینیادی موش شده و نیاز به لایه تغذیه کننده را مرتفع ساخته است. به نظر می رسد، سلول های فیبروبلاست موش از تمایز سلول های بینیادی از طریق تولید مهار کننده لوکمیا (LIF) ممکن است به عمل می آورد. بطوری که با اضافه کردن پروتئین توتر کیپ LIF به محیط کشت، سلول های بینیادی موش بدون استفاده از لایه تغذیه کننده کشت شده اند (Darr و Yamanaka، ۲۰۰۶؛ Okita و Evans، ۲۰۰۶). با اتصال LIF به STAT3 (STAT3 و gp ۱۳۰ glycoprotein) (Darr و Benvenisty، ۲۰۰۷) و یا استفاده از Shp ۳ (Shp ۳ signal transducer and activator of transcription) به گیرنده Jak kinases (Jak kinases) می شود. با این وجود، LIF در حفظ پرتوانی سلول های بینیادی رویانی انسان نقشی ندارد و چرخه فاکتور رشد فیبروبلاستی (FGF) (Dralin و Hutchins، ۲۰۰۷؛ Biswas و Benvenisty، ۲۰۰۷) امر موثر است (Darr و Xie، ۲۰۰۷؛ Kurosoawa و Okita، ۲۰۰۶؛ Yamanaka و Okita، ۲۰۰۶). از طریق گیرنده هایی که منجر به فعال کردن پروتئین تیروزین کیناز می شود، باعث ممکن است از تمایز خودبخودی و افزایش تکثیر و ماندگاری سلول های بینیادی رویانی انسان می شود. بطوری که تمامی محیط های کشت سلول های بینیادی رویانی انسان داری FGF می باشند (Dvorak و Hemkaran، ۱۹۹۸).

سلول های بینیادی رویانی از توده سلولی داخلی رویان در مرحله قیل از لانه گزینی در رحم بدست می آیند (Sasaki و Hemkaran، ۲۰۰۸). تا زمانی که مژایط برای حفظ پرتوانی آنها محسناً باشد، قابلیت ماندگاری و خودتوسازی دارند و می توانند به انواع سلول های برون پوست، میان پوست و درون پوست تمایز یابند. این خصوصیات جالب توجه سلول های بینیادی را به ایزار پسیار مقیدی تبدیل کرده است (Yamanaka و Okita، ۲۰۰۶). در سال ۱۹۸۱ تولید سلول های بینیادی موش منجر به توسعه فناوری هدف گردی ژن به منظور تولید موش های با ژن ناک اوت شد و از این فناوری به سرعت به منظور تحقیقات و مدل سازی عملکرد ژن ها استفاده شد (Evans و Kaufman، ۱۹۸۱). همچنین از زمان جدا سازی سلول های بینیادی رویانی انسان در سال ۱۹۹۸، از آنها به منظور تولید انواعی از سلول ها از جمله سلول های عصبی، کبدی، سلول های بتابانکاری، سلول های یاقت عضلانی، پوششی و قلبی استفاده شده است و از آنجایی که سلول های بینیادی ظرفیت تکاملی نا محدودی دارند، می توانند به منظور پیوند اعضاء در درمان بیماری های انسان نوید دهنده باشند (Xie و Kurosoawa، ۲۰۰۷؛ Yamanaka و Okita، ۲۰۰۶؛ Hemkaran، ۲۰۰۹). با این وجود، استفاده از سلول های بینیادی به عنوان ایزار درمانی در انسان با مشکلات علمی و اخلاقی عمدہ ای روپرتو است. از آن جمله می توان به استفاده از ترکیبات تعریف نشده از جمله سرم خون و همچنین سلول ها و ترکیباتی که منشاء حیوانی دارند در تولید سلول های بینیادی انسان اشاره کرد. بطوری که استفاده از متابع حیوانی می توانند باعث انتقال

۱۰٪ آلیومین سرم گاو و ۱۰٪ سرم چنین گاو انتقال یافتد و به مدت ۶ روز درون انکوباتور با دمای ۳۸/۵ درجه سانتی گراد و ۵٪ دی اکسید کربن قرار گرفته است تا به مرحله پلاستوسیست پرسند.

تولید رویان

با استفاده از تکنیک HMC (Handmade Cloning)

برای تولید رویان با استفاده از تکنیک HMC از روش پیشنهاد شده Shah و همکاران (۲۰۰۹) استفاده شد. بطور خلاصه، سلول های فیبروبلاست از سلول های پوست گوش گاموییش با سن کمتر از ۶ سال استحصال شدند و به عنوان دهنده ماده ژنتیکی یکار رفتند. پس از به پلوج رساندن تخمک ها، سلول های کومولوس آنها با استفاده از هیالورونیداز (۰/۰۵ mg/mL) در محیط TCM (۱۹۹-۲T) + ۲٪ سرم چنین گاو) جدا شد و به منظور حذف لایه زوتا پلوسیدا از پروتئین (mg/mL) در محیط TCM (۱۹۹-۱T) + ۱۰٪ سرم چنین گاو) استفاده شد. به منظور پیدایش بر جستگی مخروطی شکل، تخمک های عاری از سلول های کومولوس به مدت ۱۰ تا ۱۵ دقیقه در محیط کشت (TCM ۱۹۹-۲T) + ۲۰٪ سرم چنین گاو) در انکوباتور حاوی ۵٪ دی اکسید کربن با دمای ۳۸/۵°C نگهداری شدند. پس از آن به محیط کشت ۲T حاوی سایتوکالاسین (۰/۵ µg/mL) منتقل شدند و بر جستگی مخروطی شکل به کمک میکروتیغ جدا شد. به منظور پارگشته حالت کروی، سایتوپلاست های نیمه در محیط کشت ۲۰T و انکوباتور حاوی ۵٪ دی اکسید کربن با دمای ۳۸/۵ درجه سانتی گراد به مدت ۱۰-۱۵ دقیقه نگهداری شدند. پس از آن سایتوپلاست های نیمه به فایتوهماگلوتینین (۰/۵ mg/mL) در محیط کشت ۲T به مدت ۴-۳ ثانیه آغشته شدند و پس از آن به محیط کشت ۲T حاوی سلول های دهنده انتقال یافتد. هر سایتوپلاست نیمه به آرامی دور سلول شدند. زوج سایتوپلاست نیمه و سلول دهنده با استفاده از پالس چریان B TX (۰/۰۰ B TX Electrocell Manipulator متناوب (۴ ولت) دستگاه (San Diego, CA, USA) بطوری که سلول یدنی روپروی الکترود منقی پاشد در یک خط قرار گرفتند و یک سایتوپلاست نیمه دیگر نزدیک سلول یدنی قرار گرفت. یک پالس چریان مستقیم (kV/cm ۳/۳۶) برای ۴ µsec) بالا فاصله بعد از قرار گرفتن سلول یدنی بین دو سایتوپلاست نیمه پرقرار شد. پس از آن ترکیب سه تابی در محیط کشت ۲۰T در انکوباتور حاوی ۵٪ دی اکسید کربن و دمای ۳۸/۵°C به مدت ۶ ساعت قرار گرفته است تا به شکل کروی درآید. به منظور فعال سازی، آنها در محیط کشت ۲T حاوی کلسیمایسین (۲۳۱۸۷A) (۲mL) درون انکوباتور حاوی ۵٪ دی اکسید کربن و دمای ۳۸/۵ درجه سانتی گراد به مدت ۵ دقیقه قرار گرفتند. سپس تخمک ها به بار در محیط ۲۰T مشستشو داده شدند و در قطره های ۰/۵ mL از ۲T حاوی ۶-دای متیل آمینو پورین (۰/۰۰ mM) تحت روغن معدنی درون انکوباتور حاوی ۵٪ دی اکسید کربن و دمای ۳۸/۵ درجه سانتی گراد قرار گرفتند. در پایان ۲۰T حاوی ۱٪ آلیومین سرم گاوی RVCL کشت روش پیشنهاد شده است.

در حالی که ۲ FGF در حفظ خود توسعه ای سلول های پیشنهادی انسان موثر است، در سلول های پیشنهادی موش منجر به تمایز شده و در سلول های پیشنهادی گاموییش همراه با LIF منجر به ماندگاری آنها می شود. بطوری که نگهداری سلول های پیشنهادی رویانی گاموییش بدون حضور FGF و LIF امکان پذیر نیست (Sharma و همکاران، ۲۰۱۱).

با توجه به نقش چرخه های سینکتالی LIF و FGF در حفظ پرتوانی سلول های پیشنهادی رویانی گاموییش و همچنین تفاوت آن با سلول های پیشنهادی موش و انسان در این تحقیق به منظور تعیین الگوی بیان چرخه های سینکتالی LIF و FGF در سلول های پیشنهادی رویانی گاموییش، سلول های پیشنهادی از سه روش لقاد آزمایشگاهی، همتاسازی و خود گشته تولید شدند و الگوی بیان چرخه های مذکور در آنها مورد بررسی قرار گرفتند.

مواد و روش کار

بجز مواردی که در متن اشاره شده است، کلیه مواد شیمیایی و محیط های کشت از شرکت Sigma آمریکا و وسائل مصرفی پلاستیکی از شرکت Nunc دانمارک خریداری شدند.

تولید رویان با استفاده از روش لقاد آزمایشگاهی

برای تولید رویان با استفاده از لقاد آزمایشگاهی، تخدمان های گاموییش از کشتارگاه جمع آوری شدند و درون محلول نمکی فسفات پافر در دمای ۳۰ تا ۳۴ درجه سانتیگراد در مدت ۵ ساعت از کشتار به آزمایشگاه انتقال یافتد. به منظور استحصال مجموعه تخمک کومولوس، فولیکول های با قطر ۲ تا ۸ میلی متر با استفاده از سرنگ ۱۰ میلی لیتری با سرسوزن سایز ۱۸ مکیده شدند. تخمک هایی که دارای بیش از سه لایه گرانولوزای فشرده و اوپهلاسم یکنواخت بودند، به قطرات ۱۰۰ میلی لیتر از محیط کشت پلوج انتقال یافتد. بطوری که هر قطره حاوی ۱۵ تا ۲۰ تخمک بود. محیط کشت پلوج حاوی ۱۹۹-TCM به همراه ۱۰٪ سرم چنین گاو، هورمون تحریک کننده فولیکولی (۰/۵ µg/mL)، β -استرادریول (۰/۱ µg/mL)، سدیم پرورات (۰/۱۸ mM)، ۱۰٪ مایع فولیکولی گاموییش و جنتامایسین سولفات (۰/۰۵ µg/mL) بود. تخمک ها درون محیط کشت پلوج، تحت روغن معدنی و در دمای ۳۸/۵ درجه سانتی گراد و ۵ درصد دی اکسید کربن به مدت ۲۴ ساعت به پلوج رسیدند. به منظور لقاد آزمایشگاهی، تخمک ها با محیط کشت B0 (Bracket and Oliphant's B0) دو بار شسته شده و درون قطره های ۰/۱۵ mL از محیط کشت B0 گرفته شدند ۱۵ تا ۲۰ تخمک به ازای هر قطره). محیط کشت B0 بر اساس روش ۵ و همکاران (۱۹۹۸) انجام شد. پس از آن اسپرم های پرتحرک (۰/۱۰×۱۰^۶) به قطرات حاوی تخمک اضافه شدند و درون انکوباتور با دمای ۳۸/۵ درجه سانتی گراد و ۵ درصد دی اکسید کربن به مدت ۱۸ ساعت قرار گرفتند. پس از این مدت زایگوک های احتمالی از سلول های کومولوس جدا شدند و در محیط Modified Charles Rosenkrans Medium with Amino Acids (mCRaa ۲) (۰/۰۶ mM) حاوی ۱٪ آلیومین سرم گاو به مدت ۴۸ ساعت قرار گرفتند. در پایان این مدت رویان ها به محیط کشت mCRaa ۲ حاوی

شناسایی سلول های بنیادی
رنگ آمیزی آلکالین فسفاتاز

به منظور انجام رنگ آمیزی آلکالین فسفاتاز، سلول های پنیادی دوبار با DPBS شستشو داده شدند. سپس آنها با استفاده از کیت رنگ آمیزی آلکالین فسفاتاز (Sigma, Catalog No. 87C) و بر اساس روش کار شرکت تولید کننده رنگ آمیزی شدند. پطوری که سلول های پنیادی پس از رنگ آمیزی به رنگ قرمز مشاهده شدند (شکل ۱).

آنالیز ایمونو سیتو کمکال

به منظور شناسایی سلول‌های پنیادی گاومیش، بیان شناسآگرها و پرتتوانی که شامل شناسآگرهاي سطح سلولی (TRA-1-81 و SSEA-4) و

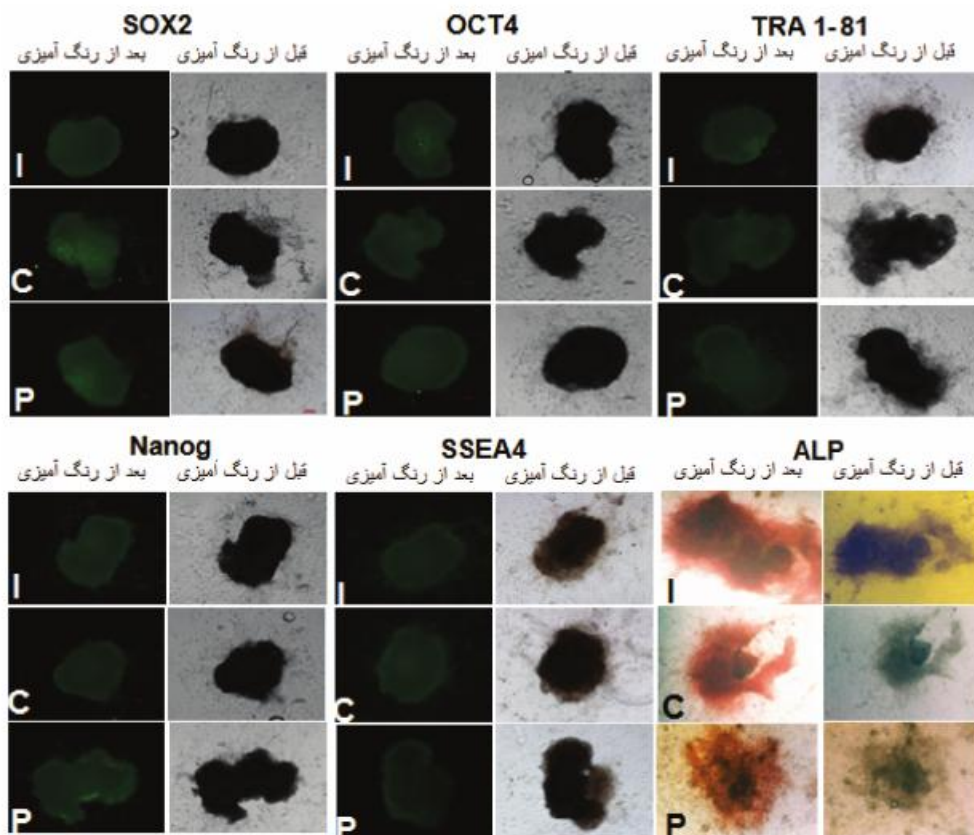
بدون اسید چرب مستوفداده شدند و در میان ۴۰۰ از این محیط در ظروف چهار خانه ای (۱۰ تا ۱۵ رویان در هر خانه) تحت روغن معدنی در انکوپیاتور حاوی ۵٪ دی اسکسید کریں و دمای ۳۸/۵ درجه سانتی گراد به مدت ۸ روز تا مرحله پلاستیکیت انکوپه شدند.

تولید رویان با استفاده از روش خودگشته

تحمک ها همانند روشی که در مرحله لقاح آزمایشگاهی عنوان شد پس از مدت ۲۴ ساعت به بلوغ رسیدند. پس از این مرحله، فعال سازی تحمک های بالغ همانند روش HMC انجام شد، بطوری که آنها به مدت ۵ دقیقه در محیط کشت T ۲۰ حاوی کلسمایسین (۲۳۱۸۷A) درون انکوپاتور حاوی ۵٪ دی اکسید کربن و دمای ۳۸/۵ درجه سانتی گراد به منظور قعال سازی قرار گرفتند و پس از شستشو، به مدت ۸ روز در محیط کشت RVCL قرار گرفتند تا به مرحله بلاستوسیست رسیدند.

تولید سلول های بنیادی روبانی

سلول های بینیادی رویانی از پلاستوسیت هایی با منشاء لقاح آزمایشگاهی و همتاسازی بر اساس روش Muzaffar و همکاران (۲۰۱۲) تولید شدند. بطور خلاصه سلول های لایه زاینده داخلی پلاستوسیت ها با روش مکاتیکی جدا شده و بر روی لایه تغذیه کننده ای که از سلول های



شکل ۱- رنگ آمیزی ایمونوپلاورسانس شامل شناساگرهای سطح سلولی (SSEA-4 و TRA-81) و شناساگرهای داخل سلولی (OCT4، SOX2، NANOG) و آلکالین فسفاتاز (ALP) در سلول های بنیادی حاصل از لقاح آزمایشگاهی (I)، همتاسازی (C) و خودگشتنی.

استخراج RNA و Reverse Transcriptase-PCR

کل محتوای RNA هر گروه آزمایشی با استفاده از روش تراپزول (Invitrogen) استخراج شد و از (۵۱۹۰۶) به منظور جلوگیری از آلودگی با DNA استفاده شد. نسخه پرداری معکوس با استفاده از آنزیم ۵' (USB) و آغازگر oligo dT انجام شد و اکنون PCR در حجم ۳۲۵ میلی‌لتر استخراج Taq DNA polymerase (U), (۱۰ μM dNTPs (mM)، (X1۰)، (۱۰)، آغازگر پیش رو و پیرو (۱۰ μM) بود. شرایط واکنش شامل واسرشتی در دمای ۹۴ درجه سانتی گراد و به مدت ۳ دقیقه بود. پس از آن بر تامه چرخشی (۳۶ چرخه) شامل ۹۴ سانتی گراد به مدت ۳۰ ثانیه، دمای وینه اتصال آغازگر بر اساس چداول او ۲ به مدت ۳۰ ثانیه و در پایان ۷۲ سانتی گراد به مدت ۳۰ ثانیه بود. واکنش با مرحله توسعه در دمای ۷۲ سانتی گراد به مدت ۱۰ دقیقه به پایان رسید. در پایان محصولات PCR روى ول آغاز ۱/۵ درصد الکتروفورز گردید و عمل عکس پرداری با دستگاه ول داک (BIO-RAD) صورت گرفت. مقایسه بیان ژن ها با استفاده از تصاویر حاصل از دستگاه ول داک، بصورت چشمی انجام گرفت.

نتایج

سلول های بنیادی در قواصل زمانی معین با استفاده از رنگ آمیزی آلکالین فسفاتاز و شناسآگرهای پرتوانی شناسایی شدند. بطوری که نتایج

شناسآگرهای داخل سلولی (NANOG، SOX2، OCT4) می باشند، یوسیله رنگ آمیزی ایمونوکلورسانس بر اساس روش Anand و همکاران (۲۰۱۱) انجام شد. بطور خلاصه، به منظور تثبیت سلول های بنیادی از DPBS حاوی ۴٪ پارافرمالدئید استفاده شد. سپس به منظور افزایش نفوذپذیری، سه بار با DBPS شستشو شده و یا ۱٪ Triton X-100 با DBPS تیمار شدند. پس از شستشوی مجدد با DBPS به مایع انسداد کننده (Serum یز ۴٪) انکویه شدند و پس از آن با آنتی بادی های اولیه (OCT4، SSEA4-، TRA-1-81، SOX2، NANOG) با نسبت ۱ به ۱۰ به مدت یک ساعت در دمای اتاق درمان شدند. پس از شستشوی مجدد با DBPS به مدت دو ساعت در دمای اتاق با آنتی بادی ثانویه که با FITC نشان دار شده بود انکویه شدند. پس از این مرحله با استفاده از میکروسکوپ فلورسانس (Diaphot, Nikon, Tokyo Japan) مورد بررسی قرار گرفتند. بطوری که سلول های بنیادی پس از رنگ آمیزی به رنگ سیز مشاهده شدند (شکل ۱). آنتی بادی های ثانویه به نسبت ۱ به ۲۰۰ goat anti-mouse IgG-FITC conjugate و goat anti-rat IgM-FITC conjugate از شرکت Sigma و goat anti-mouse IgM-FITC conjugate از شرکت Pierce Biotechnology Inc استفاده شد. به منظور بررسی صحت رنگ آمیزی، از آنتی بادی اولیه در گروه کنترل استفاده نشد، بطوری که پس از رنگ آمیزی گروه کنترل به رنگ سیز مشاهده نشد.

جدول ۱- آغازگرهای مورد استفاده به منظور انجام PCR در جرخه LIF

نام ژن	توالی	دماي اتصال	تعداد بازها	شماره دسترسی (NCBI)
GAPDH	F-5'-CCGCAATTACATCGAAATCA-3' R-5'-AGCCACAGATGGTGGAGGT-3'	60	245	GU-324291.1
LIF	F-5'-TGGGGAAGTACAAGCAGGTC-3' R-5'-CTCTGGAGTTCTGGCTCTG-3'	60	212	EU-926738.1
LIFR	F-5'-TGAGGATGGCTCAAATTCC-3' R-5'-CCGCTTTCAATGCAAACCTT-3'	60	200	NM-001192263.1
JAK2	F-5'-AACGCTGAGGGGGATTATCT-3' R-5'-ATGGTTGGGTGGATACCAGA-3'	59	156	XM_002689603.2
GP130	F-5'-ACGTGCTTGGGTAGAATGG-3' R-5'-TATATGCTTGGGCTTCCTG-3'	59	221	XM_002696322.2
PIM	F-5'-CCAACCTTCGAAGAAATCCA-3' R-5'-CTTGGGAAGCTGGAGACAAG-3'	60	181	XM_001969426
CDX2	F-5'-AAGACAAATACCGGGTCGTG-3' R-5'-CTGCGGTTCTGAAACCAAAT-3'	60	157	NM_001206299.1
STAT3	F-5'-AAGACAAACGGGTTGACAGG-3' R-5'-GAGAGAATGCAGGCAGGTT-3'	60	226	NM_001012671.2
PIAS3	F-5'-AGGTCAATGGGAAACTGTGC-3' R-5'-TGCCCTTGCTCTGAGTTT-3'	59	240	NM_001102185.1
SOCS	F-5'-AGAGCTTCGACTGCCTCTTC-3' R-5'-AGGGGAAGGAGCTCAGGTAG-3'	58	201	XM_002697964.1

F: آغازگر پیشرو، R: آغازگر پیرو

جدول ۲- آغازگرهای مورد استفاده به منظور انجام PCR در چرخه FGF

نام ژن	توالی	دماي اتصال	تعداد بازها	شماره دسترسی
FGF2	F-5'-AGCCTTGCAACTCTGCTTGT-3' R-5'-TGAGTATTGGCAACAGCAC-3'	60	193	M13440.1
FGFR1	F-5'-TGGTCCTTGTATGTCATCG-3' R-5'-GGAGGCAAGATACTCCATGC-3'	60	187	AJ004952.1
FGFR3	F-5'-CACCGACAAGGAGCTAGAGG-3' R-5'-CTCAGGCGGTAGAGCGTAAC-3'	60	249	AF368288.1
SHP2	F-5'-AACCACCTCAAAACCGAGTG-3' R-5'-GACCACACGCAGACAGAGAA-3'	60	155	XM002694590.2
E-ras	F-5'-GCTGTCGTGATGGTGTGCT-3' R-5'-TCTCCAGCAGTGGTCACAAG-3'	60	152	NM_181532.3
Erk1	F-5'-ACAGTCTCTGCCCTCCAAGA-3' R-5'-GCTCCTTCAGTCGTTCCCTG-3'	60	245	NM_001110018.1
RAF1	F-5'-AGGCTCCTTGGGACTGTTT-3' R-5'-GGTCACTATGCCAGGTTGT-3'	60	193	NM_001102505.1
PI3K	F-5'-CGAGATCCAGGAGCACTTC-3' R-5'-GCAGCAGGTACTGGAAAAGC-3'	60	233	NM_001205548.1
AKT1	F-5'-AAGAGGCAGGAGGAGGAGAC-3' R-5'-TCTCCTTCACCAGGATCACC-3'	60	178	NM_173986.2

F: آغازگر پیشرو، R: آغازگر پیرو

بحث

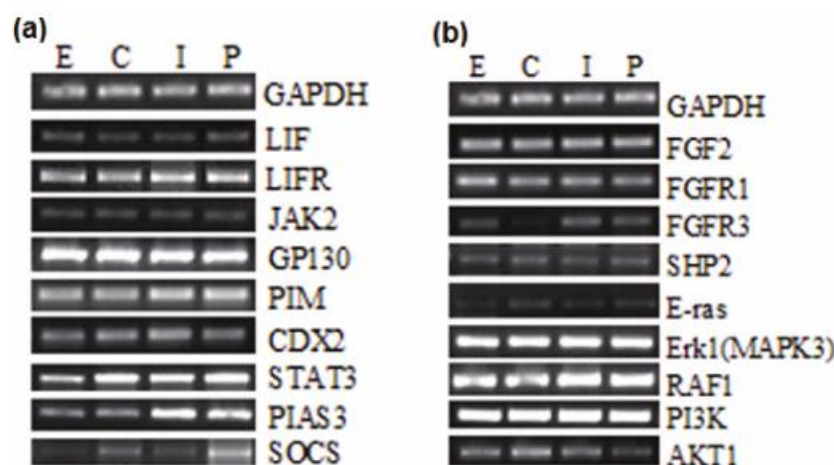
نتایج این تحقیق نشان دادند، LIF در سلول های بینیادی رویانی گاومیش حاصل از همتاسازی، لقاح آزمایشی و خودگشتنی و همچنین امیروئید بادی به میزان کمی بیان شد در حالی که گیرنده های آن LIFR و LIFR⁰ (GP1۳۰) بیان خوبی داشتند. Rho و همکاران نشان دادند، بیان LIF و گیرنده های آن در سلول های بینیادی رویانی انسان در مقایسه با سلول های HeLa کمتر است. همانند سلول های بینیادی رویانی انسان Rho و همکاران، JAK2 در سلول های بینیادی رویانی گاومیش کاهشی یافته بود در حالی که بیان STAT3 بیشتر از امیروئید بادی بود. مطالعات متعددی نشان دادند STAT3 برای حفظ پرتوانی سلولهای بینیادی رویانی موش اهمیت دارد (Smith; ۲۰۰۱؛ Smith; ۱۹۸۸ و Burdon و همکاران، ۲۰۰۲). STAT ها فاکتورهای رونویسی خاموش در سیتوپلاسم هستند که توسط JAKs فسفریله شده و پس از انتقال به هسته فعال می شوند (Rawlings و همکاران، ۲۰۰۴). STAT3 از طریق فعل کردن MYC باعث خودتوسازی سلول های بینیادی موش می شود (Anneren، ۲۰۰۸) (شکل ۳).

بیان PIM در سلول های بینیادی رویانی گاومیش و امیروئید بادی تقریباً نزدیک به هم بود. این ون در حفظ پرتوانی و ممانعت از تمایز خود پخودی در سلول های بینیادی موش نقش دارد (Aksoy و همکاران، ۲۰۰۷). برخلاف سلول های بینیادی رویانی موش، Stewart و همکاران (۲۰۰۸) نشان دادند، فعل شدن چرخه LIF/STAT3 برای حفظ پرتوانی

برای سلول های بینیادی از هر سه منشاء لقاح آزمایشگاهی، همتاسازی و خودگشتنی برای ALP (ALP) مثبت بودند. سلول های بینیادی پس از رنگ آمیزی با آلکالین فسفاتاز به رنگ قرمز مشاهده شدند و برای سایر شناسارها به رنگ سبز بود (شکل ۱).

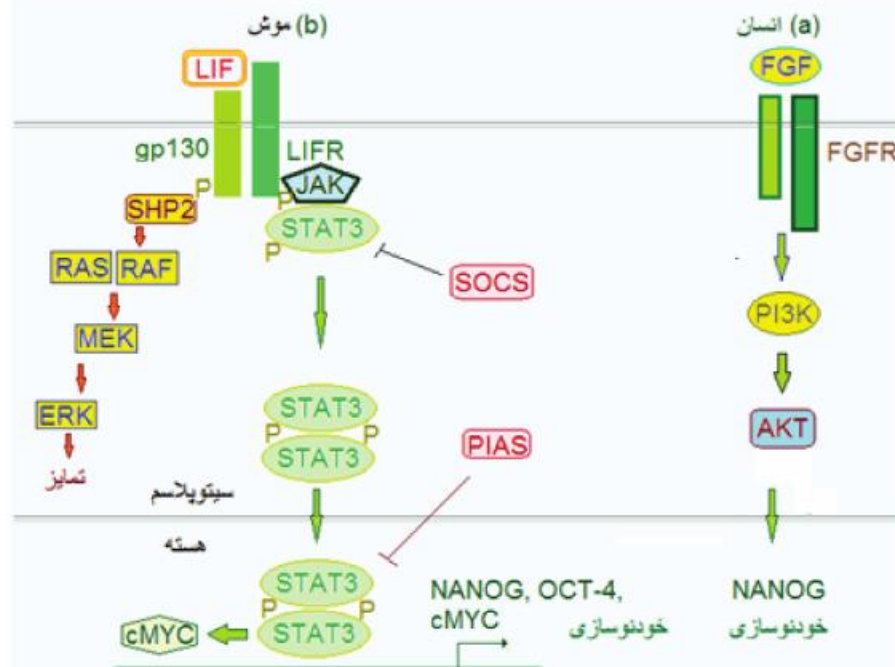
نتایج حاصل از RT-PCR در ارتباط با چرخه سیگنالی LIF در سلول های بینیادی رویانی گاومیش نشان دادند. LIF به میزان کمی در سلول های بینیادی از هر سه منشاء بیان شد. در حالی که GP1۳۰ و LIFR به عنوان گیرنده های LIF بیان خوبی داشتند. در ارتباط با اجزاء حد وسط این چرخه سلولی JAK2 بیان کمی داشت. STAT3 در سلول های بینیادی بیشتر از امیروئید بادی بود. SOCS به عنوان ممانعت کننده STAT3 در سلول های بینیادی رویانی گاومیش به میزان کمی بیشتر از امیروئید بادی بود و PIAS3 به عنوان دیگر ممانعت کننده STAT3 در سلول های بینیادی ریویانی حاصل از لقاح آزمایشگاهی و خودگشتنی، بیشتر از نوع همتاسازی آن و امیروئید بادی بود. بیان CDX2 PIM و در سلولهای بینیادی رویانی گاومیش و امیروئید بادی به یک میزان مشاهده شد (شکل ۲a).

در ارتباط با چرخه سیگنالی ۲ FGF ۲ نتایج این مطالعه نشان داد، FGF ۲ و گیرنده اول آن در سلول های بینیادی رویانی گاومیش بیان شدند، در حالی که گیرنده سوم آن در سلول های بینیادی حاصل از همتاسازی بیان نشد. اجزاء حد وسط این چرخه در سلول های بینیادی رویانی گاومیش از هر سه منشاء به یک میزان بود (شکل ۲b).



شکل ۲- بیان ژن های چرخه های سیگنالی LIF و FGF^{-1} در سلول های بنیادی رویانی گاو میش چرخه سیگنالی (LIF b) چرخه سیگنالی (FGF ۲-۴) اصیروئید بادی، C: سلول های بنیادی حاصل از همتسازی، I: سلول های بنیادی حاصل از لفاح آزمایشگاهی، P: سلول های بنیادی حاصل از خودگشتنی)

(FGF-fibroblast growth factor, FGFR- fibroblast growth factor receptor, SHP2-SH2 domain-containing phosphatase; MAPK - mitogen-activated protein kinase. PI3K- Phosphoinositide-3-kinase, JAK2-Janus kinase 2; GP130- glycoprotein 130, CDX2: Caudal-related homeobox, SOCS- Suppressors of cytokine signalling.)



شکل ۳- تفاوت حفظ پرتوانی و خودنوسازی در سلول های بنیادی رویانی انسان و موش. در سلول های بنیادی موش ژن های پرتوانی در اثر اتصال LIF به گیرنده آن و فعال شدن چرخه JAK/STAT3 افزایش می یابند. در حالی که در انسان چرخه FGF در این امر مؤثر است (Aaneren et al., ۲۰۰۸). (b) (Yamanaka and Okita, ۲۰۰۶).

می توانند باقی پمانند (Okita و Yamanaka، ۲۰۰۶). همچنین مطالعات مریوط به خرگوش نیز نقش FGF۲ در حفظ سلول های بینیادی در حالت تمایز نیافته را نشان داده اند (Hond و همکاران، ۲۰۰۹). نتایج حاصل از این مطالعه نشان داد، در حالی که بیان گورته ها و ترکیبات حد واسطه هر دو چرخه FGF۲ و LIF در سلول های بینیادی گاموییش حاصل از سه منشاء لقا آزمایشگاهی، همتا سازی و خود گشتنی تا حدود زیادی مشابه داشتند و نتایج نشان داده اند که هر دو چرخه در حفظ پرتوانی، خود نوسازی و ماندگاری سلول های بینیادی در گاموییش نقش دارند، اما اختلافات زیادی در عملکرد FGF۲ و LIF در حفظ پرتوانی، خود نوسازی و ماندگاری سلول های بینیادی بین موجودات مختلف وجود دارد، بطوری که FGF۲ در انسان، میمون و خرگوش و LIF در موش اثر تعیین کننده ای در حفظ پرتوانی و خود نوسازی سلول های بینیادی رویانی دارند. این تفاوت می تواند در عملکرد سلول های بینیادی در گونه های مختلف نقش داشته باشد. به عنوان مثال سلول های بینیادی موش قابلیت تمایز به سلول های تپنده قلب را دارند، درحالی که این امکان در انسان و میمون گزارش نشده است. در نتیجه با مقایسه ترکیبات حد واسطه این چرخه ها در سایر حیوانات اهلی و مقایسه آنها می توان تفاوت های موجود را شناسایی و از طریق انتقال ژن هایی که در یک نوع از سلول بینیادی فعال نیست، قابلیت تمایز آنها را به سایر سلول ها افزایش داد.

تکری و قدردانی

یدین و سیله از پروفسور مان ماهان سینگ چوهان و پژوههای پالتا که با حمایت های خود در انجام این پروژه ما را همراهی نمودند کمال تکر را داریم.

منابع مورد استفاده

- 1 - Aksoy, I. Sakabedoyan, C. Bourillot, P. Malashicheva, A.B. Mancip, J. Knoblauch, K. (2007). Self-Renewal of Murine Embryonic Stem Cells Is Supported by the Serine/Threonine Kinases Pim-1 and Pim-3. *Stem cells*, Vol, 25, pp: 2996-3004.
- 2 - Anand, T. Kumar, D. Singh, M.K. Chauhan, M. S. Manik, R. S. Singla, et al. (2011). Buffalo (*Bubalus bubalis*) embryonic stem cell-like cells and preimplantation embryos exhibit comparable expression of pluripotency related antigens. *Reproduction in Domestic Animals*, Vol, 46,pp: 50-58.
- 3 - Anneren, C. (2008). Tyrosine kinase signalling in embryonic stem cells. *Clinical Science*. Vol, 115, pp: 43-55.
- 4 - Biswas, A. and Hutchins, R. (2007). Embryonic stem cells. *Stem Cells Development*, Vol, 2, pp: 213-222.
- 4 - Bottcher, R.T. Niehrs, C. (2005). Fibroblast growth factor signaling during early vertebrate development. *Endocrine Review*, Vol, 26, pp: 63-77.
- 5 - Burdon, T. Smith, A. and Savatier, P. (2002). Signalling, cell cycle and pluripotency in embryonic stem cells. *Trends in Cell Biology*, Vol, 12, No, 9, pp: 432-438.

سلول های بینیادی انسان و میمون ضروری و کافی نیست. در حالی که در سورد گاموییش این چرخه به منظور حفظ پرتوانی سلولهای بینیادی ضروری به نظر می رسد (Muzaffar و همکاران، ۲۰۱۲). بطور کلی سلول های بینیادی انسان، مقدار کمی از اجزاء سازنده چرخه LIF که شامل گیرنده های STAT۳ و LIF، JAK و LIF هستند را بیان می کنند. در حالی که بیان مماعت کننده چرخه LIF در آنها بالاتر است (Wei و همکاران، ۲۰۰۵).

اگرچه LIF برای ماندگاری سلول های بینیادی رویانی موش ضروری است، اما تحقیقاتی که بر روی رویان های بدون گیرنده LIF و gp130 انجام گرفته مشخص کرده است که این رویان ها توانایی تولید سلول های بینیادی را دارند. این نتایج نشان دادند، عواملی بجز LIF در توده سلولی داخلی رویان در این امر دخیل هستند و چرخه های دیگری بجز LIF-gp130 در مماعت از تمایز سلول های بینیادی نقش دارند (Rao و همکاران، ۲۰۰۴).

نتایج مطالعات مأذن دادند، FGF۲ و گیرنده های ۱ و ۳ در سلول های بینیادی رویانی گاموییش بیان شدند، اگرچه گیرنده آن در سلول های بینیادی حاصل از رویان های همتاسازی شده مشاهده نشد. Zandi و همکاران (۲۰۱۳) گزارش کردند، رشد سلول های بینیادی حاصل از همتاسازی در مقایسه با نوع لقا آزمایشی آن کمتر بود. این اختلاف رشد می تواند به نوعی در اثر کاهش بیان گیرنده سوم FGF۲ در سلول های بینیادی حاصل از همتاسازی باشد. (Niehrs و Bottcher, ۲۰۰۵) گزارش کردند، اتصال FGF به گیرنده اش و هپارین منجر به فسقوریلاسیون گیرنده و فعل شدن چرخه های آپیشاری درون سلولی، از جمله چرخه Ras/ERK و چرخه Kinase PI3 (شکل ۳). چرخه Ras/ERK در تمایز سلول های بینیادی رویانی موش و جوجه نقش دارد و توسط LIF فعال می شود (Kunath و همکاران، ۲۰۰۷) در حالی که چرخه FGF/ERK خود نوسازی سلول های بینیادی رویانی انسان را افزایش داد (Greber و همکاران، ۲۰۱۰).

چرخه Kinase PI3 در خود نوسازی سلول های بینیادی رویانی انسان نقش دارد (Kim و همکاران، ۲۰۰۵) از طریق تنظیم چرخه WNT با فعل کردن Kinase/GSK3β PI3 در حفظ سلول های بینیادی رویانی انسان در حالت تمایز نیافته موثر است (Ding و همکاران، ۲۰۱۰). نتایج مأذن دادند Kinase PI3 و AKT در سلول های بینیادی رویانی گاموییش مأذن دادند و بیان PI3 کیمتر از AKT بود. در سلول های بینیادی رویانی موش شدت AKT و Kinase PI3 با فعل کردن GSK3β باعث مهار عملکرد AKT با فعل کردن Kinase PI3 باعث فعال کردن WNT می شود. لین در حالی است که در نتیجه باعث فعل کردن چرخه WNT می شود. لین در حالی است که در سلول های بینیادی موش با استفاده از LIF فعال می شود (Kinase PI3 و همکاران ۲۰۱۳). Zandi و همکاران (۲۰۰۸) آنرین (Anneren) اثر هم افزایی یا WNT3A به منظور افزایش سرعت رشد سلول های بینیادی رویانی گاموییش داشتند. سایر مطالعات در این زمینه تمایز نشان دهنده نقش LIF و FGF در حفظ پرتوانی سلول های بینیادی رویانی گاموییش بود (Sharma و همکاران، ۲۰۱۱).

مهمنترین عامل در حفظ خود نوسازی در سلول های بینیادی انسانی FGF می باشد (Xu و همکاران، ۲۰۰۵) (شکل ۳) a سلول های بینیادی رویانی انسان در حضور FGF ۲ حتی در نبود لایه تغذیه کننده و سرم خون

- 6 - Chauhan, M.S. Singla, S.K. Palta, P. Manik R.S. and Madan M.L. (1998). In vitro maturation and fertilization and subsequent development of buffalo (*Bubalus bubalis*) embryo: Effect of oocyte quality and type of serum. *Reproduction Fertility Development*, Vol, 10, pp: 173-177.
- 7 - Darr, H. and Benvenisty, N. (2006). Human embryonic stem cells: the battle between self-renewal and differentiation. *Regenerative Medicine*, Vol, 1, No, 3, pp: 317-325.
- 8 - Ding, V.M. Ling, L. Natarajan, S. Yap, M.G. Cool, S.M. and Choo, A.B. (2010). FGF-2 modulates Wnt signaling in undifferentiated hESC and iPS cells through activated PI3-K/GSK3 β signaling. *Journal of Cell Physiology*, Vol, 225, No, 2, pp: 417-28.
- 9 - Dvorak, P. Hampl, A. Jirmanova, L. Pacholikova, J. and Ku-sakabe, M. (1998). Embryoglycan ectodomains regulate biological activity of FGF-2 to embryonic stem cells. *Journal of Cell Science*, Vol, 111, pp: 2945-2952.
- 10 - Evans, M.J. and Kaufman, M.H. (1981). Establishment in culture of pluripotential cells from mouse embryos. *Nature*, Vol, 292, pp: 154-156.
- 11 - Greber, B. Wu, G. Bernemann, C. Joo, J.Y. Han, D.W. Ko, K. et al. (2010). Conserved and Divergent Roles of FGF Signaling in Mouse Epiblast Stem Cells and Human Embryonic Stem Cells. *Cell Stem Cell*, Vol, 6, pp: 215-226.
- 12 - Honda, A. Hirose, M. and Ogura, A. (2009). Basic FGF and Activin/Nodal but not LIF signaling sustain undifferentiated status of rabbit embryonic stem cells. *Experimental Cell Research*, Vol, 315, pp: 2033-2042.
- 13 - Kim, S.J. Cheon, S.H. Yoo, S.J. Kwon, J. Park, J.H. Kim, C.G. et al. (2005). Contribution of the PI3K/Akt/PKB signal pathway to maintenance of self-renewal in human embryonic stem cells. *FEBS Letters*, Vol, 579, pp: 534-540.
- 14 - Kunath, T. Saba-El-Leil, M.K. Almousailakh, M. Wray, J. Meloche, S. and Smith, A. (2007). FGF stimulation of the Erk1/2 signalling cascade triggers transition of pluripotent embryonic stem cells from self-renewal to lineage commitment. *Development*, Vol, 134, No, 16, pp: 2895-2902.
- 15 - Kurosoawa, H. (2007). Methods for Inducing Embryoid Body Formation: In Vitro Differentiation System of Embryonic Stem Cells. *Journal of Bioscience and Bioengineering*, Vol, 103, No, 5, pp: 389-398.
- 16 - Lanner, F. and Rossant, J. (2010). The role of FGF/Erk signaling in pluripotent cells. *Development*, Vol, 137, pp: 3351-3360.
- 17 - Muzaffar, M. Selokar, N.L. Singh, K.P. Zandi, M. Singh, M.K. Chauhan, M.S. et al. (2012). Equivalency of Buffalo (*Bubalus bubalis*) Embryonic Stem Cells Derived from Fertilized, Partheno-
- genetic and Handmade cloned Embryos. *Cellular Reprogramming* Vol, 14, pp: 267-279.
- 18 - Okita, K. and Yamanaka, S. (2006). Intracellular Signaling Pathways Regulating Pluripotency of Embryonic Stem Cells. *Current Stem Cell Research & Therapy*, Vol, 1, pp: 103-111.
- 19 - Rao, M. (2004). Conserved and divergent paths that regulate self-renewal in mouse and human embryonic stem cells. *Developmental Biology*, Vol, 275, pp: 269-286.
- 20 - Rawlings, J.S. Rosler K.M. and Harrison D.A. (2004). The JAK/STAT signaling pathway. *Journal of Cell Science*, Vol, 117, pp: 1281-1283.
- 21 - Rho, J. Yu, K. Han, J. Chae, J. Koo, D. Yoon H. et al. (2006). Transcriptional profiling of the developmentally important signalling pathways in human embryonic stem cells. *Human Reproduction*, Vol, 21, No, 2 pp: 405-412.
- 22 - Sasaki, N. Okishio, K. Ui-Tei, K. Saigo, K. Kinoshita-Toyoda, A. Nishimura, H. T. et al. (2008). Heparan Sulfate Regulates Self-renewal and Pluripotency of Embryonic Stem Cells. *Journal of Biological Chemistry*, Vol, 283, No, 6, pp: 3594-3606.
- 23 - Shah, R.A. George, A. Singh, M.K. Kumar, D. Anand, T. Chauhan, M.S. et al. (2009). Pregnancies established from handmade cloned blastocysts reconstructed using skin fibroblasts in buffalo (*Bubalus bubalis*). *Theriogenology*, Vol, 71, No, 8 pp: 1215-1219.
- 24 - Sharma, R. George, A. Kamble, N.M. Singh, K.P. Chauhan, M.S. Singla, S.K. et al. (2011). Optimization of culture conditions to support long-term self-renewal of buffalo (*Bubalus bubalis*) embryonic stem cell-like cells. *Cell Reprogramming*, Vol, 13, No, 6, pp: 539-549.
- 25 - Smith, A.G. (2001) Embryo-derived stem cells: of mice and men. *Annual Review of Cell and Developmental Biology*, Vol, 17, pp: 435-462.
- 26 - Smith, A.G. Health, J.K. Donaldson, D.D. Wong, G.G. Moreau, J. Stahl, M. et al. (1988). Inhibition of pluripotential embryonic stem cell differentiation by purified polypeptides. *Nature*, Vol, 336, pp: 688-690.
- 27 - Stavridis, M.P. Lunn, J.S. Collins, B.J. and Storey, K.G. (2007). A discrete period of FGF-induced Erk1/2 signalling is required for vertebrate neural specification. *Development*, Vol, 134, No, 16, pp: 2889-2894.
- 28 - Stewart, M.H. Bendall, S.C. and Bhatia, M. (2008). Deconstructing human embryonic stem cell cultures: niche regulation of self-renewal and pluripotency. *Molecular Medicine*, Vol, 86, pp: 875-886.
- 29 - Wei, C.L. Miura, T. Robson, P. Lim, S.K. Xu, X.Q. Lee, M.Y. et al. (2005). Transcriptome profiling of human and murine ESCs

identifies divergent paths required to maintain the stem cell state. Stem Cells, Vol, 23, pp: 166-185.

30 - Xie, J. Willerth, S.M. Li, X. Macewan, M.R. Rader, A. Sakiyama-Elbert, S.E. et al. (2009). The differentiation of embryonic stem cells seeded on electrospun nanofibers into neural lineages. Biomaterials, Vol, 30, pp: 354-362.

31 - Xu, R.H. Peck, R.M. Li, D.S. Feng, X. Ludwig, T. and Thomson, J.A. (2005). Basic FGF and suppression of BMP signaling sustain undifferentiated proliferation of human ES cells. Nat Methods,

Vol, 2, pp: 185-90.

32 - Zandi, M. Muzaffar, M. Shah, S. Kaushik, R. Singh, M. Palta, P. et al. (2013). WNT3A Signaling pathway in buffalo (Bubalus Bubalis) embryonic stem cells. Reproduction Fertility and Development. RD13084

33 - Zandi, M. Sanjabi, M.R. Khamoushi, S. (2013). Production of Buffalo Embryonic Stem Cell from HMC Embryos. Iranian Journal of Animal Science Research, Vol. 5, pp. 242-250

